

III-19 砂地盤の液状化過程の数値解析モデルについて

九州大学工学部 正員 山内豊雄
 " 学生員 ○兵動正草
 " 正員 後藤忠之輔

1. まえがき

新潟地震以来、多くの実験的研究により飽和砂の液状化機構の解明がなされ、今日その成果が設計に供されるに至った。一般に液状化は地震時において、土中要素が非排水状態で繰り返せん断を受け間げき水压が上昇する現象として捉えられるが、既往の実験結果に基づき間げき水压上昇量を求めるためには、せん断応力の大きさが既知でなければならぬ。しかるに、地震時の液状化過程におけるせん断応力は、間げき水压上昇に伴い振動周期が変化するため一義的に決定できない。また、これまでの実験のはほとんどが一様振幅のせん断応力を与えたものであり、その結果をいかにして不規則外力に適用するかといふことも問題となる。本研究は、このような現状を踏まえてまず不規則せん断応力を処理する方法を考え、さらにその方法を用いて間げき水压上昇を考慮した液状化過程の振動モデルを作成し、数値解析により液状化過程の把握を行うものである。

2. 不規則外力に対する間げき水压上昇量の評価

液状化過程の間げき水压上昇量を定量的に求めるために、振動三軸試験や¹⁾動的単純せん断試験が行われていて、不規則外力を取扱った結果は少ない。^{2), 3)}近年Sherifら⁴⁾が繰り返せん断応力載荷における各サイクルの間げき水压上昇量の定式化を行い、それが不規則外力に対しても適用可能であることを実験的に確認したことが注目される。その式は次のとおりである。

$$(dU_N^*)_p = (1 - U_{N-1}^*) \cdot C_1 (N_{eq})_p / \{ (N_{eq})_p^{C_2} - C_3 \} \cdot (T_{sp}/\Delta t_k)^{\alpha}$$

$$(N_{eq})_p = \sum_{j=1}^N (T_{sp}/T_{np})^{\alpha} \quad \dots \dots (1)$$

ここで、 T_{sp}, T_{np} : 各せん断振幅、 N_{eq} : N サイクルでの等価せん断回数、 U_N, U_N^* : N サイクル目の間げき水压上昇量、 C_1, C_2, C_3 : 定数、添字 p : 応力波形の正側領域を意味し、負側についても同様に評価する。

式(1)の計算を遂行するためには不規則外力の一周期の振幅が必要であり、各波形に位相差を伴う地盤の振動問題についてこの式を用いることは容易ではない。

そこでここでは次のような方法を試みた。まず対象とする不規則せん断応力の時系列過程 $\sigma(t)$ を適当な時間間隔 Δt で区分し、この Δt を一周期として各周期の等価せん断応力を次式のように定義する。

$$\bar{\sigma}_{eq} = C \sqrt{\int x(t)^2 / m}, \quad t_i = i \Delta t, \quad t_i = j \Delta t \quad (j=0, 1, 2, \dots) \quad \dots \dots (2)$$

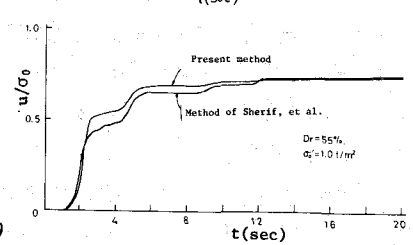
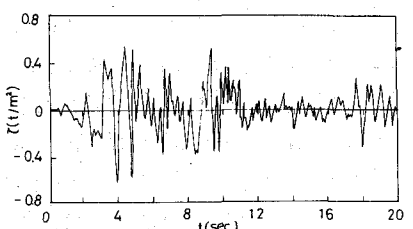
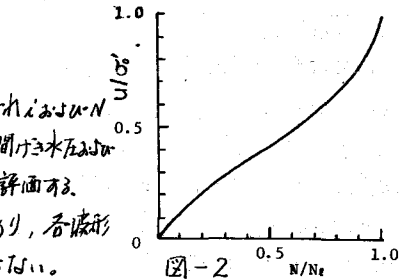
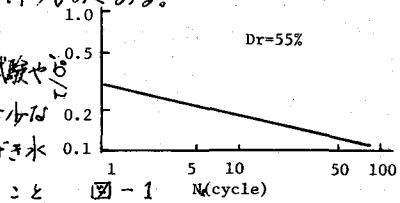
ここに、 C : 定数、 m : ディスク数。次に、式(2)の等価せん断応力を以下の方法で実験結果と対応させ間げき水压を求める。図-1は単純せん断試験による液状化に至るまでの応力比 σ/σ_0' (σ :せん断応力、 σ_0' :初期有効圧縮応力) と繰り返し回数 N_{eq} の関係⁵⁾であり、この関係は次のとく定式化される。

$$N_{eq} = 0.0033 / ((\sigma/\sigma_0')^{0.32}) \quad \dots \dots (3)$$

また、同試験で間げき水压 U の上昇過程は図-2のようになり、次式で表わされる³⁾

$$U/\sigma_0' = 1/2 + 1/\pi \cdot \sin^{-1} \{ 2(N/N_{eq})^{1/2} - 1 \} \quad \dots \dots (4)$$

ここで、式(2)における第 i 番目の等価せん断応力 $(\bar{\sigma}_{eq})_i$ を式(3)に代入すると N_{eq} が求められる。この操作を1サイクルからNサイクル



まで行うと式(4)の N/N_{ref} は $\sum_{i=1}^k (1/N_{\text{ref},i})$ で評価され、同式から時刻 t における間げき水压 σ' が求められる。図-3は、不規則せん断応力を受けた場合の間げき水圧上昇過程を Sherif らの方法(式(1))によるものと、本法によるものと比較したものである。本法では式(2)の $C = 0.82$, $\Delta t = 0.5 \text{ sec}$ とした場合に図の曲線が得られ、この曲線は実験的検証を伴う Sherif らの式による曲線と初期に幾分の違いがあるものの、応力波形の顕著な変化に対して同様の傾向を示している。したがって以下の解析では式(2)の C を 0.82 と定め、本方法を用いることとする。

3. 流状化過程の振動モデル

飽和砂地盤を図-4のような集中質量系に置換し、基盤に white noise を入力する。各層の質点はそれぞれ Voigt 系によって結合されていて、バネ定数 K は地盤の剛性率 G によって次のようになります。 $K = G/AH \dots \dots (5)$ 式中 AH は分割された層厚であり、 G は相対密度、せん断ひずみ、有効応力の関数形として次式⁴⁾で与えられます。 $G(\text{kN/m}^2) = 69.27K_2\sqrt{(1+2K_0)/3}\cdot\sigma'_v \dots \dots (6)$

ここに、 K_2 : 相対密度とせん断ひずみに依存するパラメータ、 K_0 : 静止土圧係数、 σ'_v : 鋼直有効応力。また、減衰定数はひずみ依存性のみを考慮する。初めに系の固有形態面有値解析を行い、固有周期を求める。1次の固有周期を式(2)の Δt としこの周期毎に間げき水圧上昇量を求め、さらに G と減衰定数のひずみ依存性もこの時間間隔の中で等価線形法を用いて評価する。間げき水圧は各サイクルの終了時に上昇すると仮定し、その時点での剛性率の値が新たに変更されるものとする。その際、有効応力は解の安定上初期値の 0.1% を下回らないとする。

4. 数値計算

計算対象の地盤条件は、砂の比重 $G_0 = 2.63$ 、間げき比 $e = 0.81$ 、相対密度 $D_f = 55\%$ 、 $K_0 = 0.5$ である。図-6(a), (b) は、図-5 の入力に対する最上層(層10, 図-4参照)の応答加速度ならびにせん断ひずみである。応答加速度は次第に長周期化しある時点より急減するが、逆にせん断ひずみはその時点より急増する現象が認められる。一方、間げき水圧の上昇量は図-7(a)のように深さ方向に分布し、最上層が完全流状化に至っている。同図(b)に最上層が流状化に至るまでの U/U_0' の上昇過程を示している。これを先の応答波形と対比すると、 U/U_0' の値が 1.0 になった時点で応答波形が急減していふこと、また間げき水圧上昇過程の途上においては応答波形にさほど変化がないことが認められる。しかしながら、地中せん断応力の最大値で σ'_{\max} を次式の応力低減率 γ_d で評価すると、間げき水圧上昇を考慮しない場合とて図-8 のように明らかに差異が現われる。 $\gamma_d = \delta z / g \cdot \alpha_{\max} \cdot \gamma_d \dots \dots (7)$

ここで、 γ_d : 土の単位重量、 z : 深さ、 g : 重力加速度、 α_{\max} : 地盤最大加速度。図-9は各サイクルで収録されたせん断応力と内部摩擦角 $\phi = 30^\circ$ ($K_0 = 1 - \sin \phi = 0.5$ と算定) における抵抗せん断応力の関係を示している。プロットが K_0 -line を越えた時点で流状化に至っている。

- 参考文献 1) Sherif, et al.: Soils and Foundations, 18-4, (1978), 19/30. 2) Lee, et al.: Proc. ASCE, 100-GT4, (1974), 387/406.
3) Seed, et al.: Proc. ASCE, 102-GT4, (1976), 323/346. 4) 土質工学会編: 土と構造物の動的相互作用, (1973), 37/39.

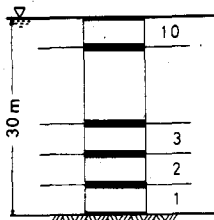


図-4

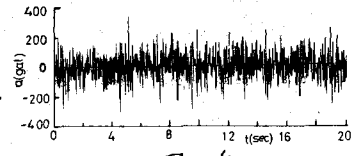
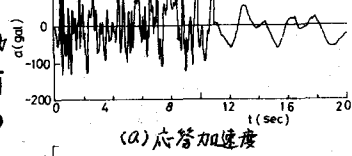
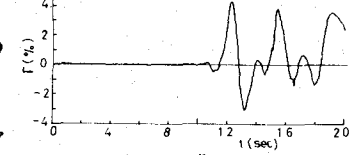


図-5



(a) 応答加速度



(b) せん断ひずみ

図-6

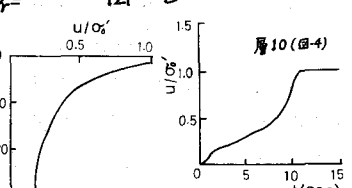
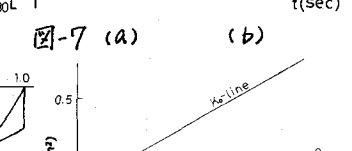


図-7 (a)



(b)

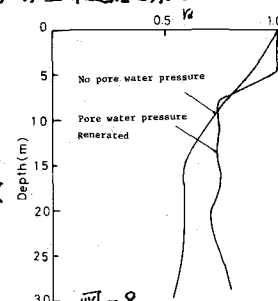


図-8

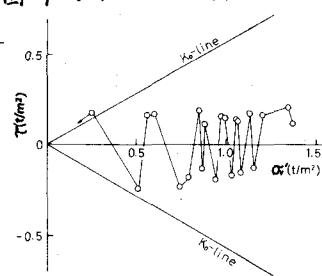


図-9